

ИССЛЕДОВАНИЕ СИСТЕМ АВТОМАТИЧЕСКОГО РЕГУЛИРОВАНИЯ С ПЕРЕМЕННОЙ СТРУКТУРОЙ В УСТАНОВИВШЕМСЯ РЕЖИМЕ

В работе рассмотрена задача статической линеаризации и определение параметров системы с переменной структурой в установившемся режиме в предположении нормальности совместного закона распределения выходных координат [1, с. 23].

Линеаризация и определение параметров проведены в пакете моделирования MatLab на примере комбинированной следящей системы с переменной структурой, использующей дифференцирующее устройство [2, с. 660]. Структурная схема данной системы в пакете моделирования MatLab представлена на рисунке 1.

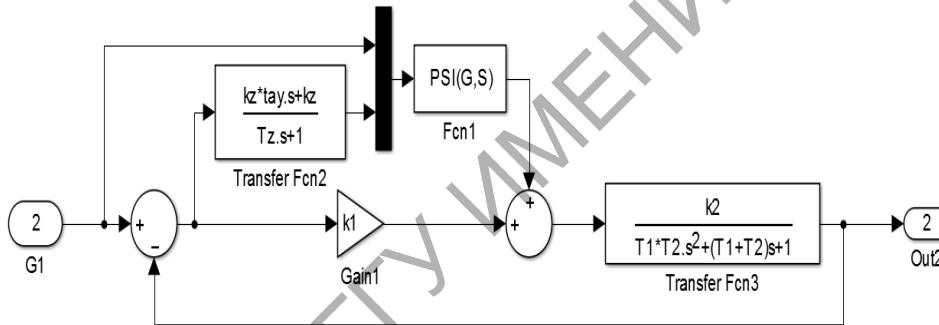


Рисунок 1 – Структурная схема комбинированной следящей системы с переменной структурой

На входе такой нелинейной автоколебательной системы действует сигнал G_1 , являющийся стационарной случайной функцией времени с известным математическим ожиданием m_g и спектральной плотностью $S_g(\omega)$, выход системы обозначен звеном Out2 [3, с. 74].

Исследуя собственное движение системы с переменной структурой в установившемся режиме как случайное, необходимо определить математическое ожидание, дисперсию и плотность ошибки m_x и $S_x(\omega)$.

Система дифференциальных уравнений, описывающих работу системы, имеет вид:

$$k_1 k_2 X + k_2 = (T_1 p + 1)(T_2 p + 1)[G - X], \quad (1)$$

$$U = \Psi(G, S) \cdot G.$$

где
$$\psi(G, S) = \begin{cases} +\lambda & \text{при } G \cdot S > 0 \\ -\lambda & \text{при } G \cdot S \leq 0 \end{cases}$$

$$S = \frac{k_3(\tau p + 1)}{(T_3 p + 1)} \cdot X,$$

$$p = \frac{d}{dt}.$$

Заменим нелинейное преобразование (1) статически линейной зависимостью [1, с. 23]:

$$U = U_0 + k_1^* G^0(t) + k_2^* S^0(t), \quad (2)$$

где $U_0 = U_0(m_g, m_s, D_{ss}, D_{gg}, D_{sg})$ – статическая характеристика нелинейного звена переменннй структуры, $k_1^* = k_1^*(m_g, m_s, D_{ss}, D_{gg}, D_{sg})$, $k_2^* = k_2^*(m_g, m_s, D_{ss}, D_{gg}, D_{sg})$ – статические коэффициенты передачи нелинейного звена по случайным составляющим, $G^0(t)$, $S^0(t)$ – центрированные составляющие, $m_g, m_s, D_{ss}, D_{gg}, D_{sg}$ – соответственно математическое ожидание, дисперсии и взаимный корреляционный момент сигналов.

Для установившегося режима в соответствии с (2) справедливы зависимости:

$$\begin{cases} m_x = \frac{m_g - k_2 \cdot U_0}{k_1 \cdot k_2 + 1} \\ m_s = k_3 \cdot m_x \end{cases} \quad (3)$$

Выражения для определения центрированных составляющих имеют вид:

$$X^0 = W_1(p) \cdot G^0,$$

$$S^0 = W_1(p) \cdot k_3 \cdot \frac{\tau p + 1}{T_3 p + 1} \cdot G^0,$$

$$W(p) = \frac{[(T_1 p + 1)(T_2 p + 1) - k_2 k_1^*](T_3 p + 1)}{(T_1 p + 1)(T_2 p + 1)(T_3 p + 1) + k_1 k_2 (T_3 p + 1) + k_2 k_3 k_2^* (\tau p + 1)}. \quad (4)$$

В соответствии с [1, с. 23] в установившемся режиме дисперсия и спектральная плотность могут быть вычислены как:

$$D_{xx} = \frac{1}{2\pi} \int_{-\infty}^{\infty} |W_1(j\omega)|^2 \cdot S_g(\omega) d\omega, \quad (5)$$

$$S_x(\omega) = |W_1(j\omega)|^2 \cdot S_g(\omega). \quad (6)$$

Как следует из (3), (4–6), для определения характеристик точности и спектральной плотности необходимо знать коэффициенты статической линеаризации U_0 , k_1^* , k_2^* .

Последовательно линеаризуем нелинейности элемента

$$U_3 = G \cdot S.$$

Представим каждую из составляющих входного сигнала в виде:

$$G = m_g + G^0,$$

$$S = m_s + S^0,$$

где m_g, m_s, G^0, S^0 – соответственно математические ожидания и центрированные составляющие сигналов.

Тогда:

$$U_3 = m_g m_s + m_g S^0 + m_s G^0 + S^0 G^0 \quad (7)$$

Заменим (7) приближенной линейной зависимостью вида:

$$\tilde{U}_3 = \varphi_{03} + k_1^* G^0 + k_2^* S^0. \quad (8)$$

где \tilde{U}_3 представляет собой неслучайную функцию, являющуюся статической характеристикой нелинейности (7); k_1^* , k_2^* – статические коэффициенты усиления.

Входящую в (8) функцию φ_{03} , определим из условия равенства математических ожиданий истинной и аппроксимирующих функций:

$$\varphi_{03} = M[\tilde{U}_3] = M[U_3] = m_g m_s + D_{sg}.$$

В отличие от используемых ранее способов статической линеаризации [1, с. 31] коэффициенты k_1^* и k_2^* будем искать в виде:

$$k_i^* = k_{1i} + \lambda_3, \quad (i = 1, 2),$$

где k_{1i} – коэффициенты статической линеаризации, выбранные из условия минимума среднего квадрата ошибки

$$k_{1i} = \frac{\partial \varphi_{02}}{\partial m_{sg}}, \quad (i = 1, 2);$$

λ_3 – коэффициент, общий для всех центрированных составляющих в линеаризованной зависимости, выбранный из условия равенства дисперсий истинной и аппроксимирующей функций.

Производя вычисления, получим:

$$k_1^* = m_s + \lambda_3, \quad k_2^* = m_g + \lambda_3, \quad (9)$$

$$\lambda_3 = \frac{m_s D_{gg} + m_g D_{ss} + D_{sg}(m_g + m_s)}{D_{gg} + D_{ss} + 2D_{sg}},$$

$$+ \sqrt{\frac{[m_s D_{gg} + m_g D_{ss} + D_{sg}(m_g + m_s)]^2}{[D_{gg} + D_{ss} + 2D_{sg}]^2} + \frac{D_{gg} + D_{ss} + D_{sg}^2}{D_{gg} + D_{ss} + 2D_{sg}}}.$$

Из анализа (9) и (10) следует, что при $m_g = m_s = 0$ коэффициенты k_1^* и k_2^* не равны нулю, а имеют вполне определенное значение.

Заметим, что знак перед корнем в (17) определяется знаком k_{1i} .

Линеаризуя зависимость

$$\psi \begin{cases} \lambda' \text{ при } G \cdot S > 0 \\ \lambda' \text{ при } G \cdot S \leq 0 \end{cases}$$

будем иметь на выходе релейного элемента [1, с. 23]:

$$\tilde{U}_2 = \varphi_{02} + \xi_{(1)} \cdot \tilde{U}_3^0, \quad (11)$$

где $\varphi_{02} = 2\lambda' \Phi \left(\frac{\varphi_{02}}{\sqrt{D_{33}}} \right),$

$$\xi_{(1)} = \frac{\lambda'}{\sqrt{D_{33}}} \cdot \left[1 - 4\Phi \left(\frac{\varphi_{02}}{\sqrt{D_{33}}} \right) \right],$$

$$\tilde{U}_3^0 = k_1^* \cdot G^0 + k_2^* \cdot S^0, \quad (12)$$

$$D_{33} = m_s^2 D_{gg} + m_g^2 D_{ss} + 2m_s m_g D_{sg} + D_{gg} D_{ss} + D_{sg}^2.$$

Наконец, линеаризуя (1), получим:

$$U_i = \varphi_{01} + h_1 \tilde{U}_2^0 + h_2 G^0, \quad (13)$$

где $\varphi_{01} = \varphi_{02} \cdot m_g + \xi_{(1)} D_{g3},$

$$D_{g2} = M[G^0 \tilde{U}_2^0] - k_1^* D_{gg} + k_2^* D_{sg},$$

$$h_1 = m_g + \lambda_1,$$

$$h_2 = \varphi_{02} + \lambda_1,$$

$$\lambda_1 = -\frac{m_g D_{22} + \varphi_{02} D_{gg} + (m_g + \varphi_{02}) D_{2g}}{D_{22} + D_{gg} + D_{2g}} +$$

$$+ \sqrt{\frac{[m_g D_{22} + \varphi_{02} D_{gg} + (m_g + m_s) D_{2g}]^2}{[D_{22} + D_{gg} + 2D_{2g}]^2} + \frac{\xi_{(1)}^2 (D_{gg} D_{ss} + D_{3g}^2)}{D_{22} + D_{gg} + 2D_{2g}}},$$

$$D_{22} = \xi_{(1)}^2 \cdot D_{33},$$

$$\begin{aligned} D_{2g} &= \xi(\omega) \cdot D_{3g}, \\ \tilde{U}_2^g &= \xi(\omega) \cdot \tilde{U}_3^g. \end{aligned} \quad (14)$$

Окончательно, с учетом (11),(12), (14) получим:

$$U_1 = \varphi_{01} + h_1^* G^0 + h_2^* S^0, \quad (15)$$

где $h_1^* = h_2 + h_1 k_1^* \xi_{(1)}, \quad (16)$

$$h_2^* = h_1 \xi(\omega) k_2^*. \quad (17)$$

Неизвестные дисперсии и взаимный корреляционный момент определяются как:

$$D_{SS} = \frac{1}{2\pi} \int_{-\infty}^{\infty} \left| W_1(j\omega) \cdot \frac{k_2(Tj\omega + 1)}{T_2 j\omega + 1} \right|^2 \cdot S_g(\omega) d\omega, \quad (18)$$

$$D_{2g} = \frac{1}{2\pi} \int_{-\infty}^{\infty} W_1(j\omega) k_2 \frac{\tau j\omega + 1}{T_2 j\omega + 1} \cdot S_g(\omega) d\omega. \quad (19)$$

Решение (3), (4), (5), (13), (15), (16), (17), (18), (19) возможно только совместно.

Пусть спектральная плотность помехи на входе имеет вид:

$$S_g = \frac{2D_{gg} \cdot \omega}{\omega_0^2 + \omega^2}.$$

Соответственно $k_g(\tau) = D_{gg} \cdot e^{-\omega_0|\tau|}$.

Для получения конкретных значений числовых характеристик и спектральной плотности зададим параметрам системы значения: $k_1 = 5$; $k_2 = 2,5$; $k_3 = 0,5$; $T_1 = 0,4$; $T_2 = 0,1$; $T_3 = 0,02$; $\tau = 0,25$; $\lambda' = 0,5$; $\omega_0 = 12$.

Значения m_g и D_{gg} на входе системы варьируются.

Для указанных значений параметров задача решалась методом итераций [4, с. 184].

С применением пакета моделирования MatLab были получены графики изменений математических ожиданий дисперсий выходного сигнала в зависимости от математического ожидания и дисперсии входного сигнала; графики изменения спектральной плотности ошибки в зависимости от дисперсии на входе [4, с. 184]. Проведенные исследования и анализ результатов в пакете моделирования MatLab позволили сделать следующие выводы:

1. Наличие помехи на входе системы приводит к срыву «скользящего» режима и появлению ошибки слежения, величина которой зависит от соотношения «сигнал-шум» на входе системы.

2. При увеличении интенсивности помехи на входе системы (уменьшении соотношения «сигнал-шум») максимум спектральной плотности смещается в область более низких частот, а величина максимума увеличивается.

3. Для исследования поведения системы с переменной структурой в установившемся режиме можно использовать метод статической линеаризации. При статической линеаризации мультипликативных нелинейностей целесообразно несколько видоизменить способ выбора и определения коэффициентов статической линеаризации. Приведенная процедура расчета отличается сравнительной простотой и не требует громоздких вычислений.

Список использованных источников

- 1 Ким, Д. П. Теория автоматического управления / Д. П. Ким. – М. : ФИЗМАТЛИТ, 2003. – Т. 1. Линейные системы. – 288 с.
- 2 Дьяконов, В. П. Simulink 5/6/7 : самоучитель / В. П. Дьяконов. – М. : ДМК–Пресс, 2008. – 784 с.
- 3 Карнаухов, Н. С. Применение инструментальных средств пакета Simulink&MatLab для упрощения исследований и визуализации процессов электрических машин / Н. С. Карнаухов // Инновационные технологии обучения физико-математическим дисциплинам : материалы 6-й междунар. науч.-практ. интернет-конф., Мозырь, 25–28 марта 2014 г. – Мозырь : МГПУ им. И. П. Шамякина, 2014. – 198 с.
- 4 Капустин, А. Г. Исследование систем генерирования методом структурного моделирования / А. Г. Капустин, Н. С. Карнаухов // Совершенствование обеспечения полетов авиации : тезисы докладов 3-й военно-науч. конф. курсантов и молодых ученых / редкол. : А. А. Санько, С. А. Савостеев [и др.]. – Минск : МГВАК. 2013. – 273 с.